

2. 室内土質試験データ

室内土質試験は、予測地点である計画地敷地境界付近のボーリング調査地点1と5について、圧密試験結果を以降に示す。

ボーリング調査地点1

試料番号 (深 さ)		T-1-1 (2.00~2.80m)	T-1-2 (4.00~4.80m)	T-1-3 (6.00~6.80m)	T-1-4 (15.00~15.80m)	T-1-5 (21.00~21.80m)	T-1-6 (26.00~26.80m)	
一般	湿潤密度 ρ_w g/cm ³	1.492	1.650	1.461	1.388	1.456	1.479	
	乾燥密度 ρ_s g/cm ³	0.819	1.069	0.757	0.642	0.743	0.795	
	土粒子の密度 ρ_s g/cm ³	2.566	2.641	2.626	2.627	2.619	2.631	
	自然含水比 w_n %	82.2	54.5	93.0	116.2	96.0	86.0	
	間隙比 e	2.134	1.473	2.472	3.093	2.525	2.308	
	飽和度 S_r %	98.8	97.7	98.8	98.7	99.6	98.0	
粒度	石分 (75mm以上) %							
	礫分 ¹⁾ (2~75mm) %	0	0	0	0	0	0	
	砂分 ¹⁾ (0.075~2mm) %	0	16	1	0	2	2	
	シルト分 ¹⁾ (0.005~0.075mm) %	55	49	53	54	55	57	
	粘土分 ¹⁾ (0.005mm未満) %	45	35	46	46	43	41	
	最大粒径 mm	0.106	0.850	0.250	0.106	0.250	0.250	
	均等係数 U_c	*	*	*	*	*	*	
コンシステンシー特性	液性限界 w_L %	72.1	38.2	55.9	64.5	64.0	64.8	
	塑性限界 w_p %	33.0	26.4	33.8	35.0	39.3	38.5	
	塑性指数 I_p	39.1	11.8	22.1	29.5	24.7	26.3	
分類	地盤材料の分類名	有機質粘土 (高液性限界)	砂質シルト (低液性限界)	シルト (高液性限界)	シルト (高液性限界)	シルト (高液性限界)	シルト (高液性限界)	
	分類記号	(OH)	(MLS)	(MH)	(MH)	(MH)	(MH)	
圧密	試験方法	段階載荷	段階載荷	段階載荷	段階載荷	段階載荷	段階載荷	
	圧縮指数 C_c	0.698	0.605	1.219	1.791	1.073	0.837	
	圧密降伏応力 p_c kN/m ²	45.3	67.0	71.6	92.6	138.6	177.5	
一軸圧縮	一軸圧縮強さ q_u kN/m ²	25.6	53.7	40.0	56.7	85.4	86.6	
	一軸圧縮強さ qu kN/m ²	30.5	40.3	36.2	47.4	89.1	90.8	
	一軸圧縮強さ qu kN/m ²							
	一軸圧縮強さ qu kN/m ²							
せん断	試験条件	UU	UU	UU	UU	UU	UU	
	全応力	c kN/m ²	13.8	25.5	19.2	25.7	43.7	42.9
		ϕ °	0.0	1.9	0.0	0.0	0.0	1.7
	有効応力	c' kN/m ²						
ϕ' °								

特記事項

1) 石分を除いた75mm未満の土質材料に対する百分率で表す。

[1kN/m²≒0.0102kgf/cm²]

ボーリング調査地点 5

試料番号 (深 さ)		T-5-1 (2.00~2.85m)	T-5-2 (4.00~4.85m)	T-5-3 (6.00~6.85m)	P-5-1 (9.00~9.50m)	P-5-2 (10.00~10.50m)	T-5-4 (15.00~15.85m)	
一般	湿潤密度 ρ_t g/cm ³	1.625	1.505	1.432			1.443	
	乾燥密度 ρ_s g/cm ³	1.023	0.865	0.723			0.739	
	土粒子の密度 ρ_s g/cm ³	2.616	2.512	2.599	2.681	2.677	2.598	
	自然含水比 w_n %	59.0	74.4	98.1			95.4	
	間隙比 e	1.561	1.918	2.593			2.517	
	飽和度 S_r %	98.9	97.5	98.3			98.4	
粒度	石分 (75mm以上) %							
	礫分 ¹⁾ (2~75mm) %	0	0	0	3	3	0	
	砂分 ¹⁾ (0.075~2mm) %	0	0	0	65	70	1	
	シルト分 ¹⁾ (0.005~0.075mm) %	52	54	52	21	17	57	
	粘土分 ¹⁾ (0.005mm未満) %	48	46	48	11	10	42	
	最大粒径 mm	0.106	0.106	0.106	9.5	9.5	0.250	
コンシステンシー特性	均等係数 U_c	*	*	*	55.7	54.0	*	
	液性限界 w_L %	59.1	82.4	78.8			84.9	
	塑性限界 w_P %	31.7	41.5	36.4			39.7	
分類	塑性指数 I_p	27.4	40.9	42.4			45.2	
	地盤材料の分類名	シルト (高液性限界)	シルト (高液性限界)	シルト (高液性限界)	粘性土質砂	粘性土質砂	シルト (高液性限界)	
圧密	分類記号	(MH)	(MH)	(MH)	(SCs)	(SCs)	(MH)	
	試験方法	段階載荷	段階載荷	段階載荷			段階載荷	
	圧縮指数 C_c	0.482	0.734	1.269			1.083	
一軸圧縮	圧密降伏応力 p_c kN/m ²	45.4	87.7	64.6			111.9	
	一軸圧縮強さ q_u kN/m ²	20.6	20.3	24.9			47.9	
	一軸圧縮強さ q_u kN/m ²	18.2	21.9	29.0			51.6	
	一軸圧縮強さ q_u kN/m ²							
せん断	試験条件	UU	UU	UU			UU	
	全応力	c kN/m ²	10.6	11.2	13.8			25.1
		ϕ °	0.0	0.0	0.0			0.0
	有効応力	c' kN/m ²						
ϕ' °								

特記事項

1) 石分を除いた75mm未満の土質材料に対する百分率で表す。

[1kN/m² ≒ 0.0102kgf/cm²]

試料番号 (深 さ)		T-5-5 (22.00~22.85m)				
一般	湿潤密度 ρ_t g/cm ³	1.661				
	乾燥密度 ρ_s g/cm ³	1.077				
	土粒子の密度 ρ_s g/cm ³	2.648				
	自然含水比 w_n %	54.3				
	間隙比 e	1.460				
	飽和度 S_r %	98.5				
粒度	石分 (75mm以上) %					
	礫分 ¹⁾ (2~75mm) %	0				
	砂分 ¹⁾ (0.075~2mm) %	30				
	シルト分 ¹⁾ (0.005~0.075mm) %	46				
	粘土分 ¹⁾ (0.005mm未満) %	24				
	最大粒径 mm	0.250				
	均等係数 U_c	*				
コンシステンシー特性	液性限界 w_L %	46.1				
	塑性限界 w_P %	29.5				
	塑性指数 I_p	16.6				
分類	地盤材料の分類名	砂質シルト (低液性限界)				
	分類記号	(MLS)				
圧密	試験方法	段階載荷				
	圧縮指数 C_c	0.644				
	圧密降伏応力 p_c kN/m ²	199.6				
一軸圧縮	一軸圧縮強さ q_u kN/m ²	57.4				
	一軸圧縮強さ qu kN/m ²	65.1				
	一軸圧縮強さ qu kN/m ²					
	一軸圧縮強さ qu kN/m ²					
せん断	試験条件	UU				
	全応力	c kN/m ²	32.6			
		ϕ °	2.7			
	有効応力	c' kN/m ²				
ϕ' °						

特記事項

1) 石分を除いた75mm未満の土質材料に対する百分率で表す。

[1kN/m²≒0.0102kgf/cm²]

調査件名 概略可能性調査その2業務委託 試験年月日 平成 21年 2月 23日

試料番号 (深さ) T-1-1 (2.00~2.80m) 試験者 倉持 淳

試験機 No.	直 径 D cm	6.00	含水比 w %	83.6
最低~最高室温 $^{\circ}C$	断 面 積 A cm ²	28.27	初期 含水量 w_0 %	2.168
土質名称	高 さ H_0 cm	2.00	状 態	1.487
土粒子の密度 ρ_s g/cm ³	質 量 m_0 g	81.09	飽和度 S_w %	98.9
塑性限界 w_p %	圧密機質量 m_c g	72.1	圧縮指数 C_c	0.688
塑性限界 w_L %	実質高さ H_c cm	33.0	圧密時応力 p_c kN/m ²	45.3
載荷 圧密圧力 p kN/m ²	圧力増分 Δp kN/m ²	圧密量 ΔH cm	供試体高さ H cm	平均供試体高 \bar{H} cm
段階	0	0	2.0000	2.168
	4.9	0.0113	1.9944	0.567
	4.9	0.0140	1.9887	0.706
	9.8	0.0218	1.9747	0.872
	19.6	0.0464	1.9529	1.110
	39.2	0.0986	1.9297	1.405
	78.4	0.1330	1.9065	1.853
	156.8	0.1278	1.8079	2.776
	313.6	0.1286	1.6749	5.065
	627.2	0.1317	1.5471	7.933
	4.9	1.4844	1.4828	8.673
	4.9	1.5502	1.4844	8.872
	4.9	1.5502	1.455	1.43E-4
	4.9	1.5502	1.455	1.455

10 特記事項

$H_c = m_v / (\alpha \cdot A)$
 $H = H_0 - \Delta H$
 $\bar{H} = (H_0 + H) / 2$
 $m = (\Delta H / 100) / \Delta p$
 $S_w = w_0 m / (\alpha \cdot H_0)$

$\bar{p} = \sqrt{p \cdot p'}$
 f 注: $\alpha = 305 \times \bar{p} / t_w$
 $k = c_v \cdot m_v / (8.64 \times 10^4)$
 $k' = c'_v \cdot m'_v / (8.64 \times 10^4)$
 ただし, $\gamma_w = 9.81 \text{ kN/m}^3$
 $[1 \text{ kN/m}^2 = 0.0102 \text{ kgf/cm}^2]$

調査件名 概略可能性調査その2業務委託 試験年月日 平成 21年 2月 23日

試料番号 (深さ) T-1-2 (4.00~4.80m) 試験者 倉持 淳

試験機 No.	直 径 D cm	6.00	含水比 w %	68.1
最低~最高室温 $^{\circ}C$	断 面 積 A cm ²	28.27	初期 含水量 w_0 %	1.796
土質名称	高 さ H_0 cm	2.00	状 態	1.588
土粒子の密度 ρ_s g/cm ³	質 量 m_0 g	89.78	飽和度 S_w %	100.1
塑性限界 w_p %	圧密機質量 m_c g	53.41	圧縮指数 C_c	0.605
塑性限界 w_L %	実質高さ H_c cm	0.7154	圧密時応力 p_c kN/m ²	67.0
載荷 圧密圧力 p kN/m ²	圧力増分 Δp kN/m ²	圧密量 ΔH cm	供試体高さ H cm	平均供試体高 \bar{H} cm
段階	0	0	2.0000	1.796
	4.9	0.0059	1.9971	0.295
	4.9	0.0130	1.9876	0.654
	9.8	0.0202	1.9811	1.025
	19.6	0.0334	1.9609	1.718
	39.2	0.0698	1.9275	3.688
	78.4	0.1150	1.8577	8.15E-4
	156.8	0.1302	1.7427	4.95E-4
	313.6	0.1256	1.6125	2.58E-4
	627.2	0.1586	1.4869	1.63E-4
	4.9	1.6455	1.6455	1.300
	4.9	1.6455	1.6455	1.300

10 特記事項

$H_c = m_v / (\alpha \cdot A)$
 $H = H_0 - \Delta H$
 $\bar{H} = (H_0 + H) / 2$
 $m = (\Delta H / 100) / \Delta p$
 $S_w = w_0 m / (\alpha \cdot H_0)$

$\bar{p} = \sqrt{p \cdot p'}$
 f 注: $\alpha = 305 \times \bar{p} / t_w$
 $k = c_v \cdot m_v / (8.64 \times 10^4)$
 $k' = c'_v \cdot m'_v / (8.64 \times 10^4)$
 ただし, $\gamma_w = 9.81 \text{ kN/m}^3$
 $[1 \text{ kN/m}^2 = 0.0102 \text{ kgf/cm}^2]$

調査件名 概略可能性調査その2業務委託 試験年月日 平成 21年 2月 23日

試料番号 (深さ) T-1-3 (5.00~6.80m) 試験者 倉持 淳

試験機 No.	直 径 D cm	初 期 含水比 w ₀ %	92.3		
最低~最高室温 C	断 面 積 A cm ²	28.27	2.404		
土質名称	高 さ h ₀ cm	2.00	1.483		
土粒子の密度 ρ _s g/cm ³	試 験 体 積 V cm ³	83.89	100.8		
液性限界 w _L %	圧 縮 係 数 C _c %	43.62	1.219		
塑性限界 w _p %	実 質 高 さ h _c cm	0.5876	71.6		
載荷圧密圧力 p ₀ kN/m ²	供試体高さ H cm	平均供試体高さ H ₀ cm	間隔比 e ₀ -H ₀ /H _c -1		
圧力増分 Δp kN/m ²	圧 差 量 ΔH cm	供試体高さ H cm	標準化圧縮率 m _v %		
圧力増分 Δp kN/m ²	圧 差 量 ΔH cm	供試体高さ H cm	間隔比 e ₀ -H ₀ /H _c -1		
圧力増分 Δp kN/m ²	圧 差 量 ΔH cm	供試体高さ H cm	標準化圧縮率 m _v %		
0	0.0	2.0000	2.404		
1	4.9	1.9982	0.185	3.78E-4	2.397
2	9.8	1.9930	0.331	6.76E-4	2.386
3	19.6	1.9888	0.554	5.65E-4	2.367
4	39.2	1.9855	1.006	5.13E-4	2.334
5	78.4	1.9807	3.016	7.69E-4	2.235
6	156.8	1.7931	12.002	1.53E-3	1.868
7	313.6	1.5973	11.044	7.04E-4	1.568
8	627.2	1.4388	9.772	3.12E-4	1.329
9	4.9	1.3685	-10.378	1.67E-4	1.584
10	4.9	1.5183			

特記事項

$H_c = m_v / (e_0 - A)$
 $H = H' - \Delta H$
 f 法: $e = 305 \times H' / H_c$
 $H' = (H + H') / 2$
 $m = (\Delta e / 100) / \Delta p$
 $S_w = w_{0.95} / (e_0 - A)$
 ただし、 $\gamma_w = 9.81 \text{ kN/m}^3$
 $[1 \text{ kN/m}^2 = 0.0102 \text{ kgf/cm}^2]$

調査件名 概略可能性調査その2業務委託 試験年月日 平成 21年 2月 23日

試料番号 (深さ) T-1-4 (15.00~15.80m) 試験者 倉持 淳

試験機 No.	直 径 D cm	初 期 含水比 w ₀ %	127.0		
最低~最高室温 C	断 面 積 A cm ²	28.27	3.326		
土質名称	高 さ h ₀ cm	2.00	1.378		
土粒子の密度 ρ _s g/cm ³	試 験 体 積 V cm ³	77.94	100.3		
液性限界 w _L %	圧 縮 係 数 C _c %	34.33	1.791		
塑性限界 w _p %	実 質 高 さ h _c cm	0.4623	92.6		
載荷圧密圧力 p ₀ kN/m ²	供試体高さ H cm	平均供試体高さ H ₀ cm	間隔比 e ₀ -H ₀ /H _c -1		
圧力増分 Δp kN/m ²	圧 差 量 ΔH cm	供試体高さ H cm	標準化圧縮率 m _v %		
圧力増分 Δp kN/m ²	圧 差 量 ΔH cm	供試体高さ H cm	間隔比 e ₀ -H ₀ /H _c -1		
圧力増分 Δp kN/m ²	圧 差 量 ΔH cm	供試体高さ H cm	標準化圧縮率 m _v %		
0	0.0	2.0000	3.326		
1	4.9	1.9989	0.115	2.35E-4	3.321
2	9.8	1.9957	0.200	4.08E-4	3.313
3	19.6	1.9937	0.372	3.80E-4	3.297
4	39.2	1.9853	0.490	2.50E-4	3.276
5	78.4	1.9766	2.080	5.31E-4	3.188
6	156.8	1.9359	10.269	1.31E-3	2.778
7	313.6	1.7468	16.221	9.81E-4	2.239
8	627.2	1.4974	11.677	3.72E-4	1.882
9	4.9	1.3322	-12.327	1.98E-4	2.260
10	4.9	1.5072			

特記事項

$H_c = m_v / (e_0 - A)$
 $H = H' - \Delta H$
 f 法: $e = 305 \times H' / H_c$
 $H' = (H + H') / 2$
 $m = (\Delta e / 100) / \Delta p$
 $S_w = w_{0.95} / (e_0 - A)$
 ただし、 $\gamma_w = 9.81 \text{ kN/m}^3$
 $[1 \text{ kN/m}^2 = 0.0102 \text{ kgf/cm}^2]$

調査件名 観測可能性調査その2業務委託 試験年月日 平成 21年 2月 23日

試料番号 (深さ) T-1-5 (21.00~21.80m)		試験者 倉持 淳	
試験機 No.	直 径 D cm	6.00	含水比 w_s %
最低~最高室温 $^{\circ}C$	断 面 積 A cm ²	28.27	初期 固相率 w_p %
土 質 名 称	高 さ H_s cm	2.00	状 態
土粒子の密度 ρ_s g/cm ³	試 験 量 m_s g	83.20	飽 和 度 S_w %
液性限界 w_L %	初 始 固 相 率 w_p %	44.71	圧 縮 指 数 C_c
塑性限界 w_p %	実 質 高 さ H_s cm	0.6039	圧 密 係 数 C_v
載荷 圧密圧力 p kN/m ²	圧力増分 Δp kN/m ²	圧密時間 t min	平均体積係数 m_v
段階	0 0.0	9.8	0.0029
	1 9.8	9.8	0.0088
	2 19.6	19.6	0.0148
	3 39.2	39.2	0.0223
	4 78.4	78.4	0.0670
	5 156.8	156.8	0.1952
	6 313.6	313.6	0.1866
	7 627.2	627.2	0.1576
	8 1254.4	1244.6	0.1612
	9 9.8	1244.6	0.1612
	10 110.9	1506.0	

特記事項

$$H_s = m_v / (\alpha_v A)$$

$$H = H' - \Delta H$$

$$\bar{H} = (H + H') / 2$$

$$m = (J / (100) / \Delta p)$$

$$S_w = w_p / (\alpha_v \rho_s)$$

$$\bar{p} = \sqrt{\Delta p \cdot p'}$$

$$\sqrt{t} \text{法: } \alpha_v = 305 \times \bar{p} / H_s$$

$$k = c_v m_v \gamma_w / (8.64 \times 10^4)$$

$$k' = c'_v m'_v \gamma_w / (8.64 \times 10^4)$$

ただし, $\gamma_w = 9.81 \text{ kN/m}^3$

[1kN/m² = 0.0102kgf/cm²]

調査件名 観測可能性調査その2業務委託 試験年月日 平成 21年 2月 23日

試料番号 (深さ) T-1-6 (26.00~26.80m)		試験者 倉持 淳	
試験機 No.	直 径 D cm	6.00	含水比 w_s %
最低~最高室温 $^{\circ}C$	断 面 積 A cm ²	28.27	初期 固相率 w_p %
土 質 名 称	高 さ H_s cm	2.00	状 態
土粒子の密度 ρ_s g/cm ³	試 験 量 m_s g	84.17	飽 和 度 S_w %
液性限界 w_L %	初 始 固 相 率 w_p %	45.50	圧 縮 指 数 C_c
塑性限界 w_p %	実 質 高 さ H_s cm	0.6117	圧 密 係 数 C_v
載荷 圧密圧力 p kN/m ²	圧力増分 Δp kN/m ²	圧密時間 t min	平均体積係数 m_v
段階	0 0.0	9.8	0.0039
	1 9.8	9.8	0.0076
	2 19.6	19.6	0.0136
	3 39.2	39.2	0.0232
	4 78.4	78.4	0.0420
	5 156.8	156.8	0.1232
	6 313.6	313.6	0.1538
	7 627.2	627.2	0.1290
	8 1254.4	1244.6	0.1260
	9 9.8	1244.6	0.1260
	10 110.9	1629.7	

特記事項

$$H_s = m_v / (\alpha_v A)$$

$$H = H' - \Delta H$$

$$\bar{H} = (H + H') / 2$$

$$m = (J / (100) / \Delta p)$$

$$S_w = w_p / (\alpha_v \rho_s)$$

$$\bar{p} = \sqrt{\Delta p \cdot p'}$$

$$\sqrt{t} \text{法: } \alpha_v = 305 \times \bar{p} / H_s$$

$$k = c_v m_v \gamma_w / (8.64 \times 10^4)$$

$$k' = c'_v m'_v \gamma_w / (8.64 \times 10^4)$$

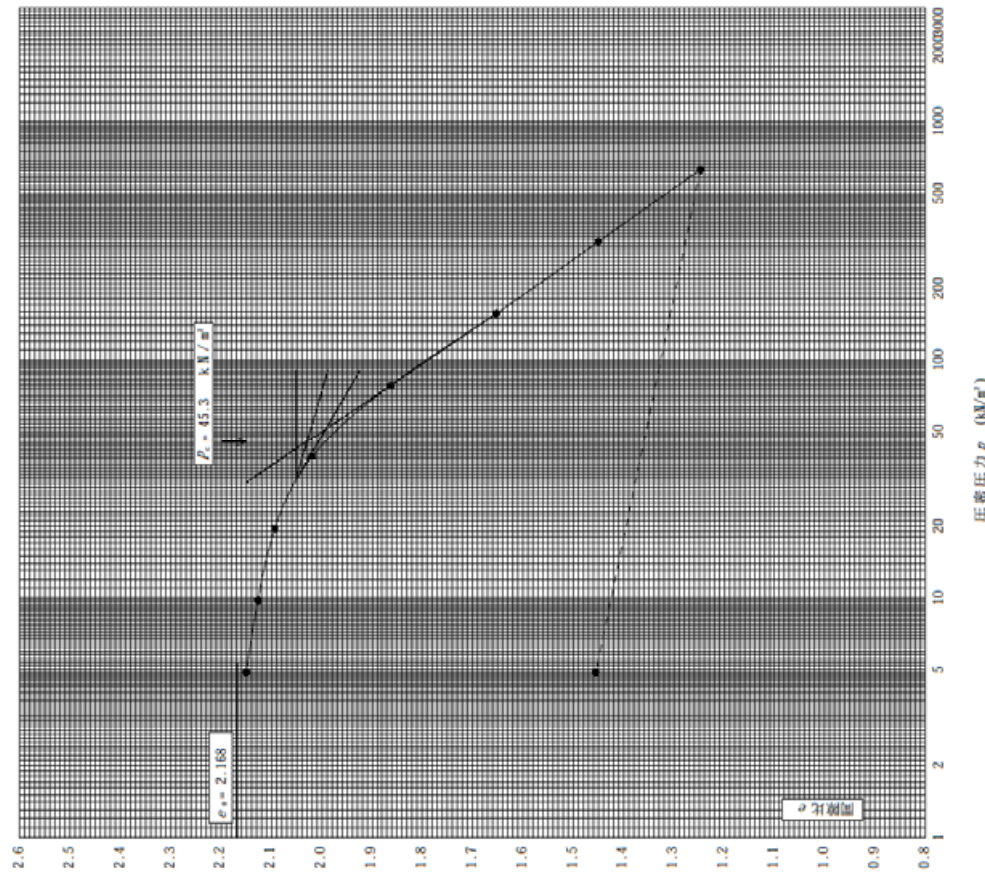
ただし, $\gamma_w = 9.81 \text{ kN/m}^3$

[1kN/m² = 0.0102kgf/cm²]

JIS A 1217 JCS 0411	土の段階載荷による圧密試験 (圧縮曲線)
------------------------	----------------------

調査件名 標榜可能性調査その2業務委託 試験年月日 平成 21年 2月 23日

試験番号(深さ) T-1-1 (2.00~2.80m)	試験者 倉持 淳
土粒子の密度 ρ_s g/cm ³	2.566
液性限界 w_L %	72.1
塑性限界 w_p %	33.0
初期含水比 w_0 %	83.6
初期孔隙比 e_0	2.168
圧縮指数 C_c	0.698
圧密時状態力 p_c kN/m ²	45.3
ひずみ速度 [*] %/min	

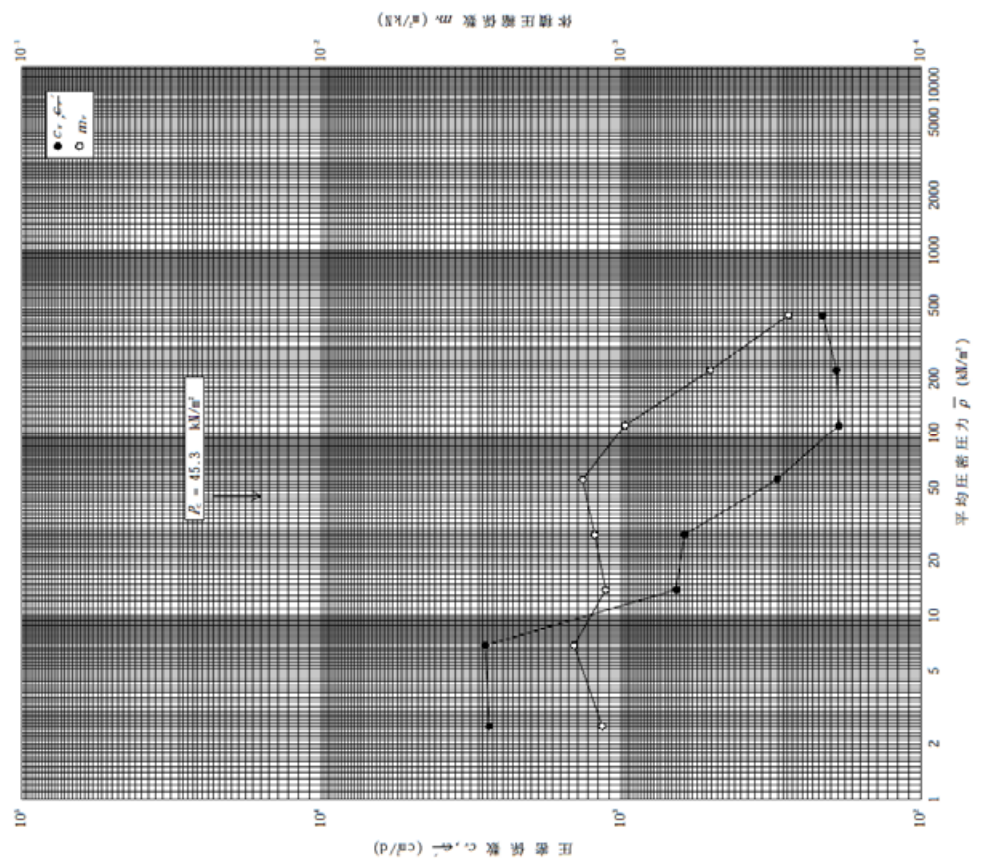


特記事項
1) 定ひずみ速度載荷による圧密試験の時のみ記入する。
[1kN/m²=0.0102kgf/cm²]

JIS A 1217 JCS 0411	土の段階載荷による圧密試験 ($c, m_v - \bar{p}$ 関係)
------------------------	--

調査件名 標榜可能性調査その2業務委託 試験年月日 平成 21年 2月 23日

試験番号(深さ) T-1-1 (2.00~2.80m)	試験者 倉持 淳
-----------------------------	----------



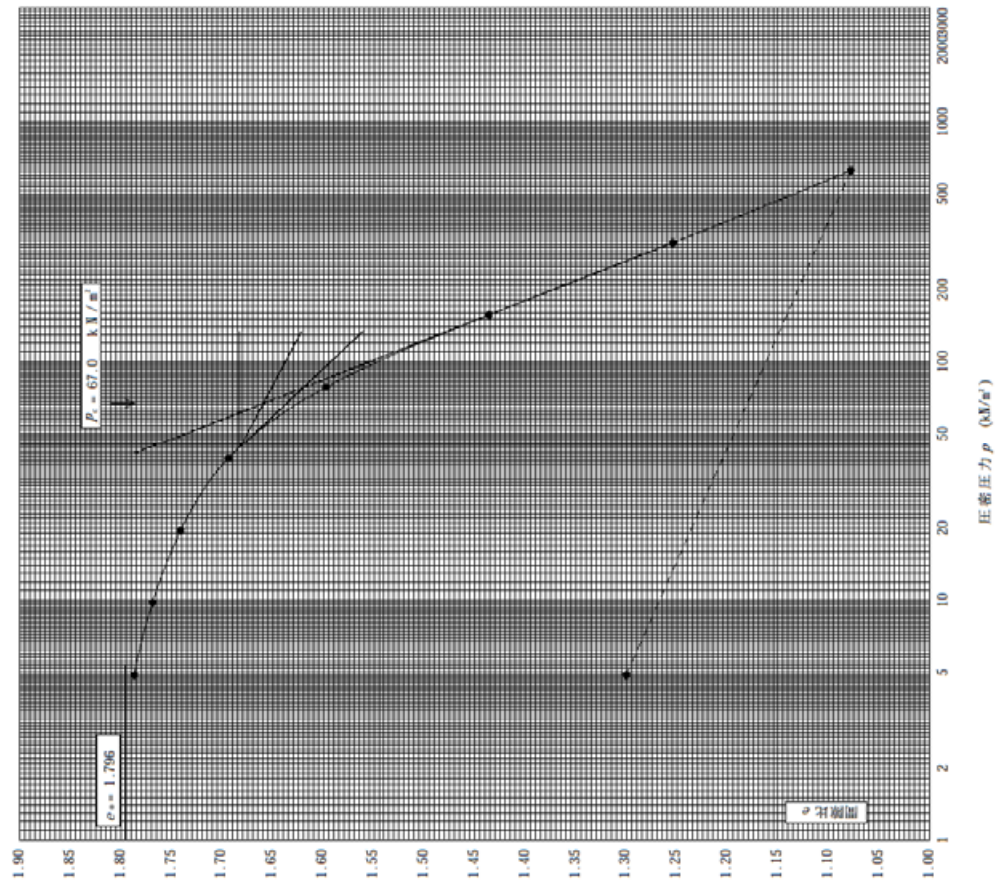
特記事項
[1kN/m²=0.0102kgf/cm²]

JIS A 1217 JGS 0411	土の段階載荷による圧密試験 (圧縮曲線)
------------------------	----------------------

調査件名 概略可能性調査その2業務委託 試験年月日 平成 21年 2月 23日

試験番号(深さ) T-1-2 (4.00~4.80m) 試験者 倉持 淳

土粒子の密度	液性限界	塑性限界	初期含水比	初期固相比 e_0	圧縮指数	圧密換元応力	ひずみ速度 ^o
ρ_s g/cm ³	w_L %	w_p %	w_0 %	初相性比 $\frac{1}{1+e_0}$	C_c	p_c kN/m ²	%/min
2.641	38.2	26.4	68.1	1.796	0.605	67.0	



特記事項

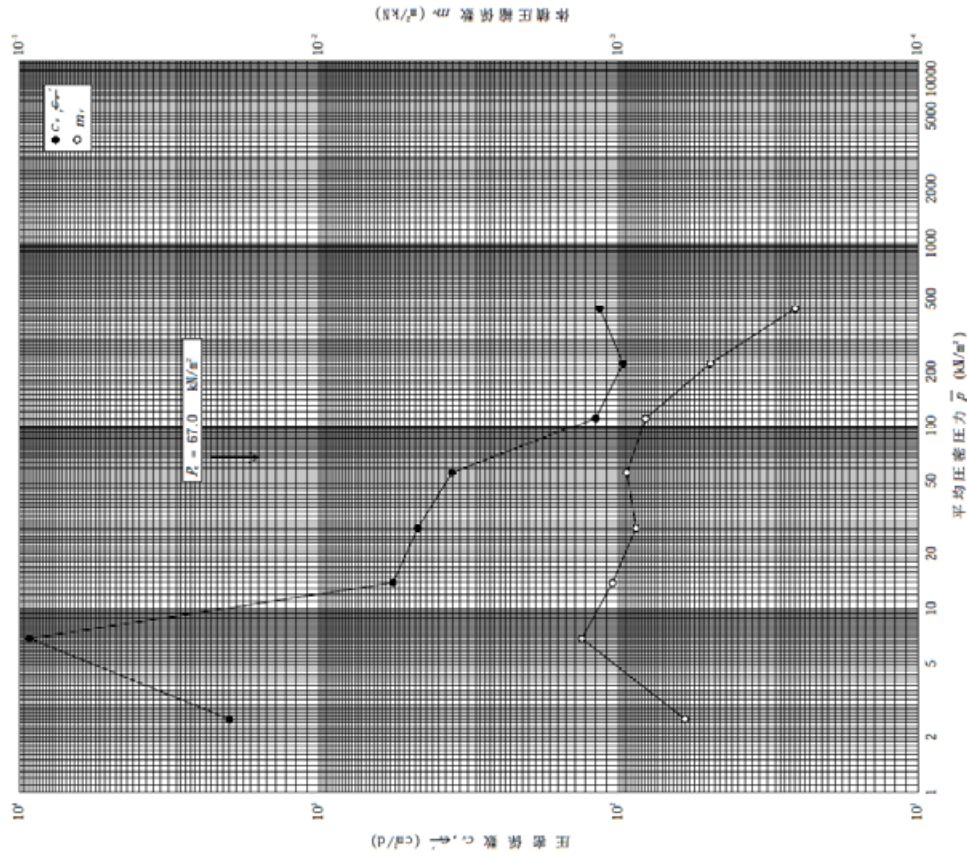
1) 定ひずみ速度載荷による圧密試験の時のみ記入する。

[1kN/m²≒0.0102kgf/cm²]

JIS A 1217 JGS 0411	土の段階載荷による圧密試験 (C_c, m_v, \bar{p} 関係)
------------------------	---

調査件名 概略可能性調査その2業務委託 試験年月日 平成 21年 2月 23日

試験番号(深さ) T-1-2 (4.00~4.80m) 試験者 倉持 淳



特記事項

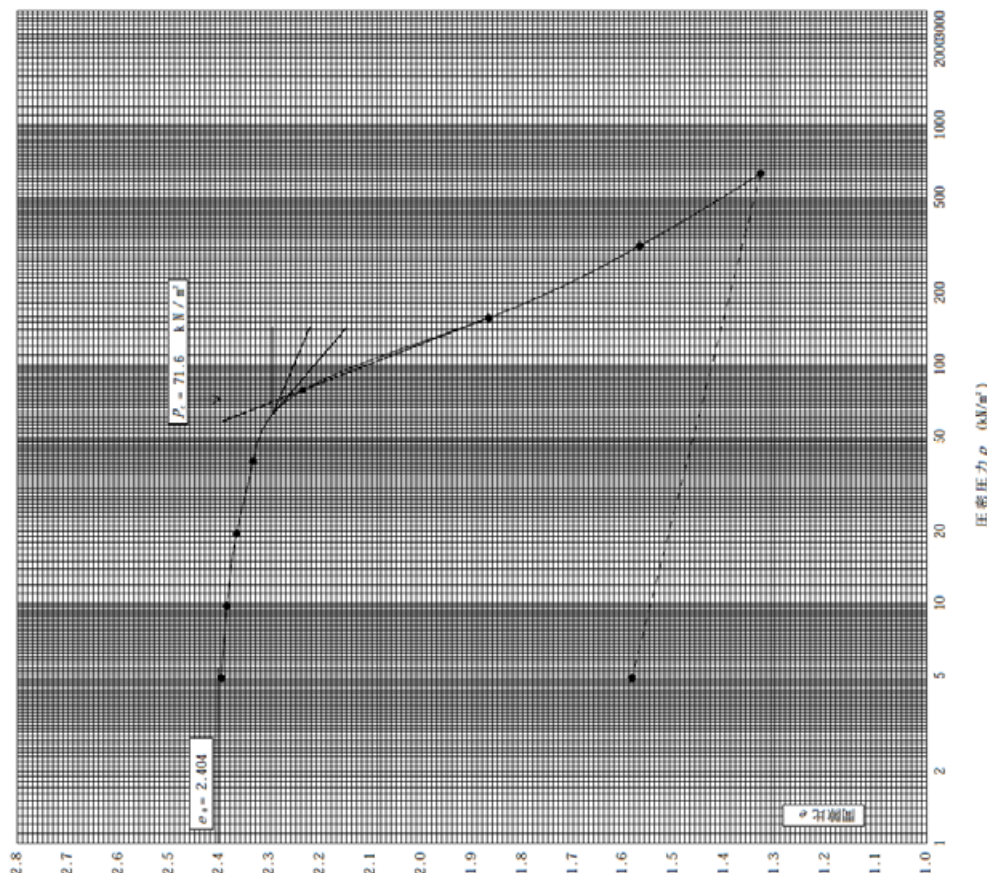
[1kN/m²≒0.0102kgf/cm²]

JIS A 1217 JGS 0411	土の段階的圧縮による圧密試験 (圧縮曲線)
------------------------	-----------------------

調査件名 概略可能性調査その2業務委託 試験年月日 平成 21年 2月 23日

試験番号(深さ) T-1-3 (6.00~6.80m) 試験者 倉持 淳

土粒子の密度 ρ_s (g/cm ³)	液性限界 w _L (%)	塑性限界 w _p (%)	初期含水比 w ₀ (%)	初期固相比 初相性固相比 (%)	初期固相比 e_0	圧縮指数 C_c	圧密時応力 p_c (kN/m ²)	ひずみ速度 ⁰⁾ %/min
2.625	55.9	33.8	92.3	2.404	1.219	71.6		

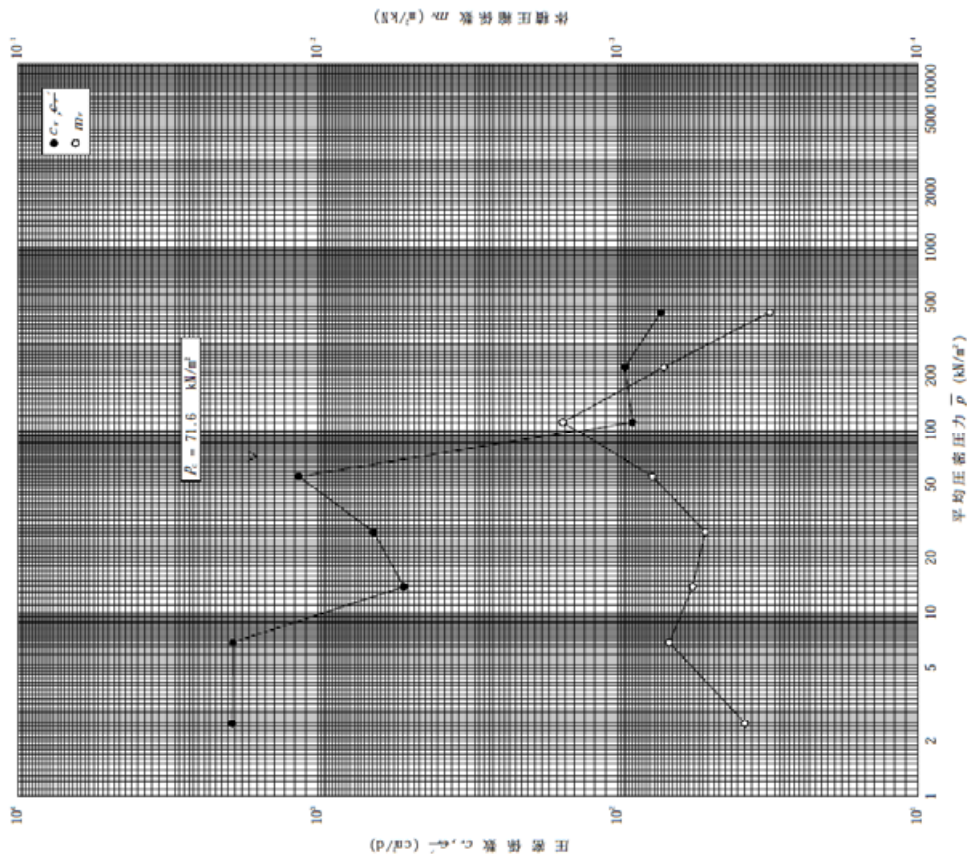


特記事項
1) 定ひずみ速度試験による圧密試験時のみ記入する。
[1kN/m²≒0.0102kgf/cm²]

JIS A 1217 JGS 0411	土の段階的圧縮による圧密試験 ($c_c, m_v - \bar{p}$ 関係)
------------------------	---

調査件名 概略可能性調査その2業務委託 試験年月日 平成 21年 2月 23日

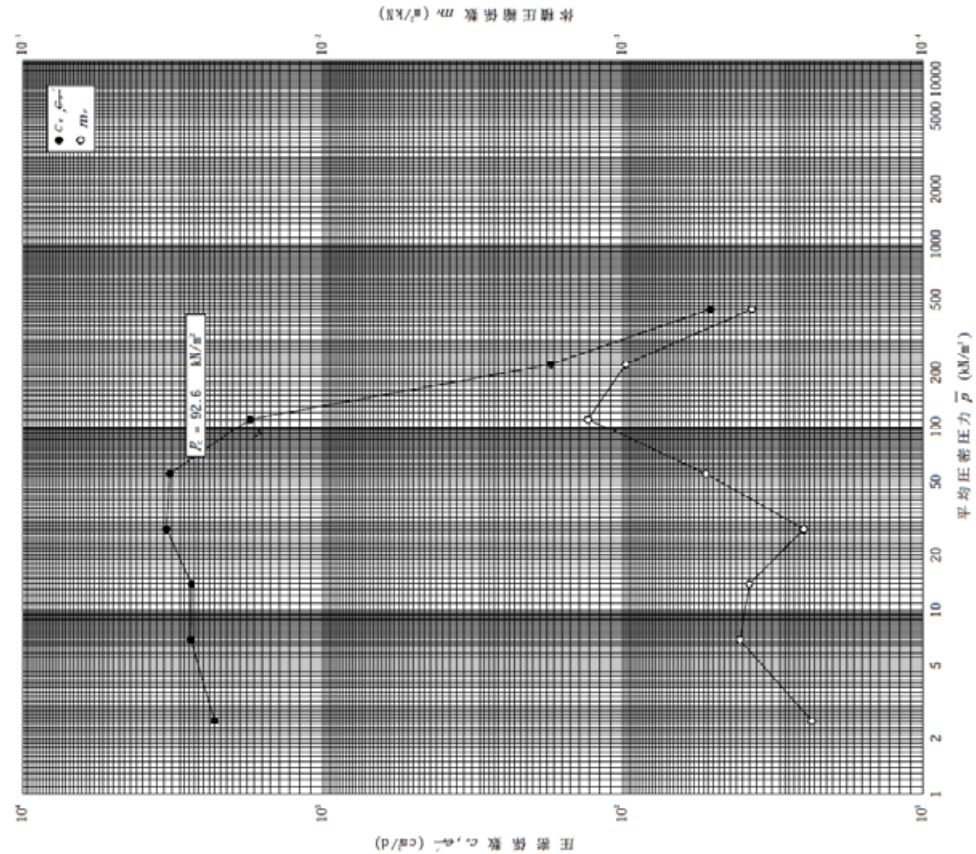
試験番号(深さ) T-1-3 (6.00~6.80m) 試験者 倉持 淳



特記事項
[1kN/m²≒0.0102kgf/cm²]

JIS A 1217
JGS 0411 土の段階載荷による圧密試験 (C, m, \bar{p} 関係)

調査件名 概略可能性調査その2業務委託
試験年月日 平成 21年 2月 23日
試験番号(深さ) T-1-4 (15.00~15.80m) 試験者 倉持 淳

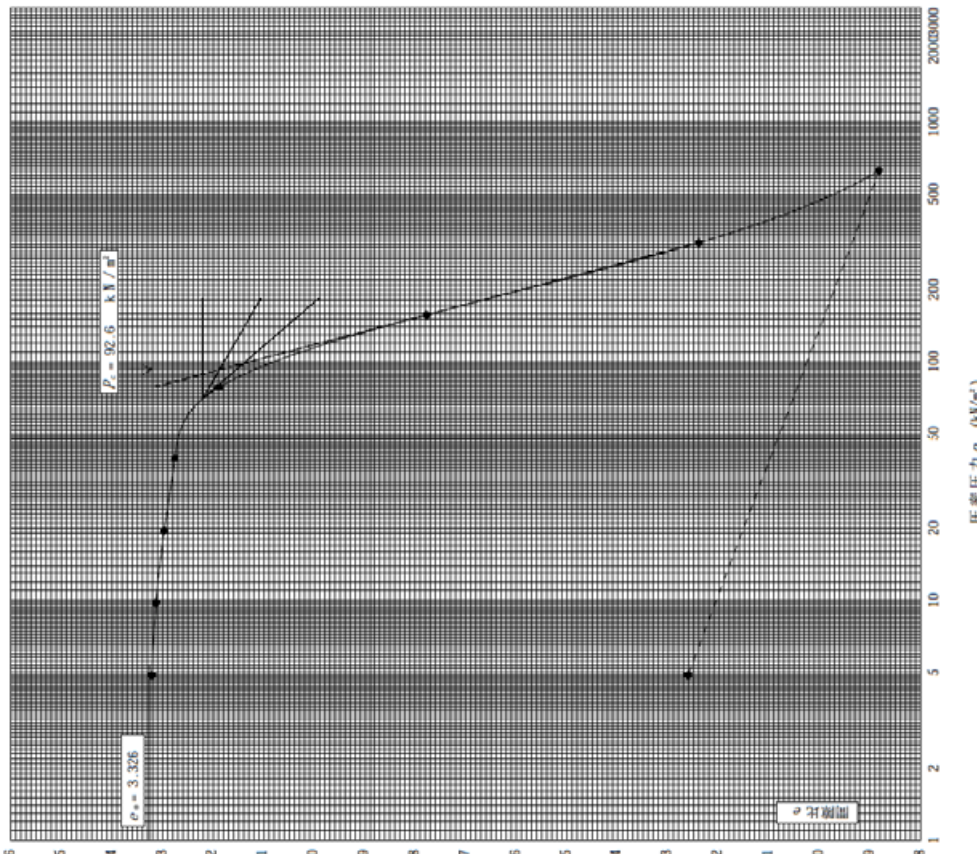


特記事項
[1kN/m²≒0.0102kgf/cm²]

JIS A 1217
JGS 0411 土の段階載荷による圧密試験 (圧縮曲線)

調査件名 概略可能性調査その2業務委託
試験年月日 平成 21年 2月 23日
試験番号(深さ) T-1-4 (15.00~15.80m) 試験者 倉持 淳

土粒子の密度 ρ_s (g/cm ³)	液性限界 w_L (%)	塑性限界 w_p (%)	初期含水比 w_0 (%)	初期固相比 e_0	圧縮指数 C_c	圧密係数 ρ_c (kN/m ³)	ひずみ速度 $\dot{\epsilon}$ (%/min)
2.627	64.5	35.0	127.0	3.326	1.791	92.6	



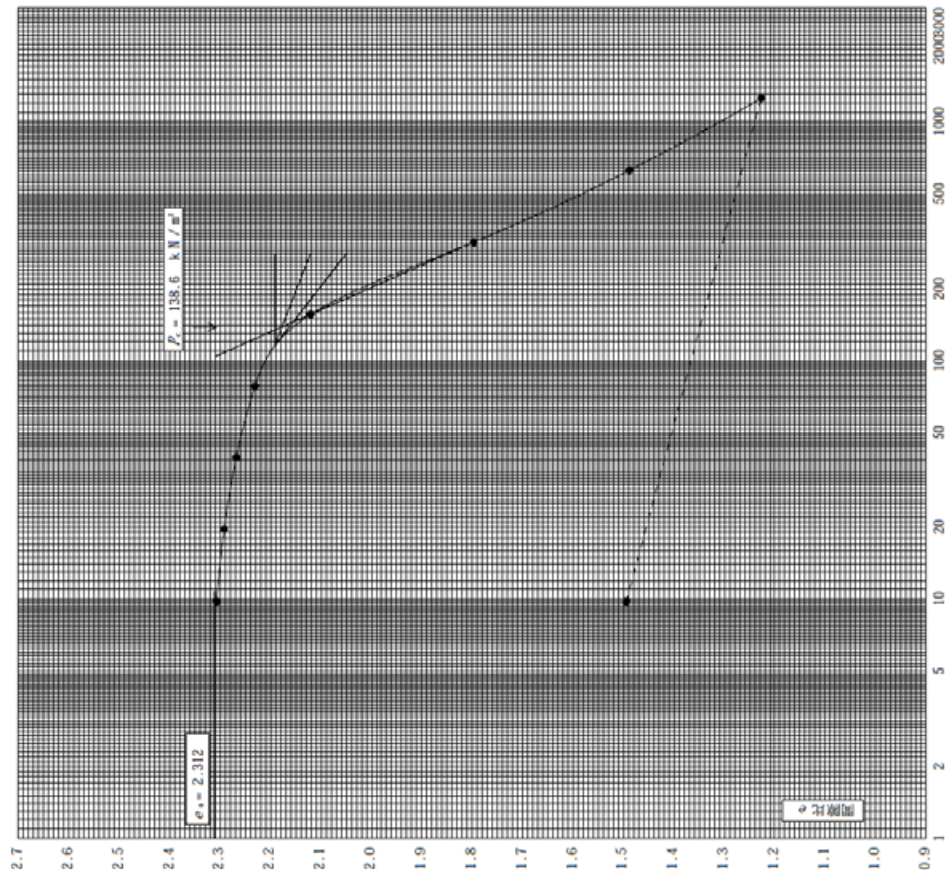
特記事項
1) 定のひずみ速度載荷による圧密試験の時のみ記入する。
[1kN/m²≒0.0102kgf/cm²]

JIS A 1217 土の段階載荷による圧密試験(圧縮曲線)
 JGS 0411

調査件名 概略可能性調査その2業務委託
 試験年月日 平成 21年 2月 23日

試験番号(深さ) T-1-5 (21.00~21.80m) 試験者 倉持 淳

土粒子の密度 ρ_s g/cm ³	液性限界 w _L %	塑性限界 w _P %	初期含水比 w ₀ %	初期固相比 w ₀ %	圧縮指数 C_c	圧密時応力 p_c kN/m ²	ひずみ速度 ⁰⁾ %/min
2.619	64.0	39.3	86.1	2.312	1.073	138.6	



圧密圧力 p (kN/m²)

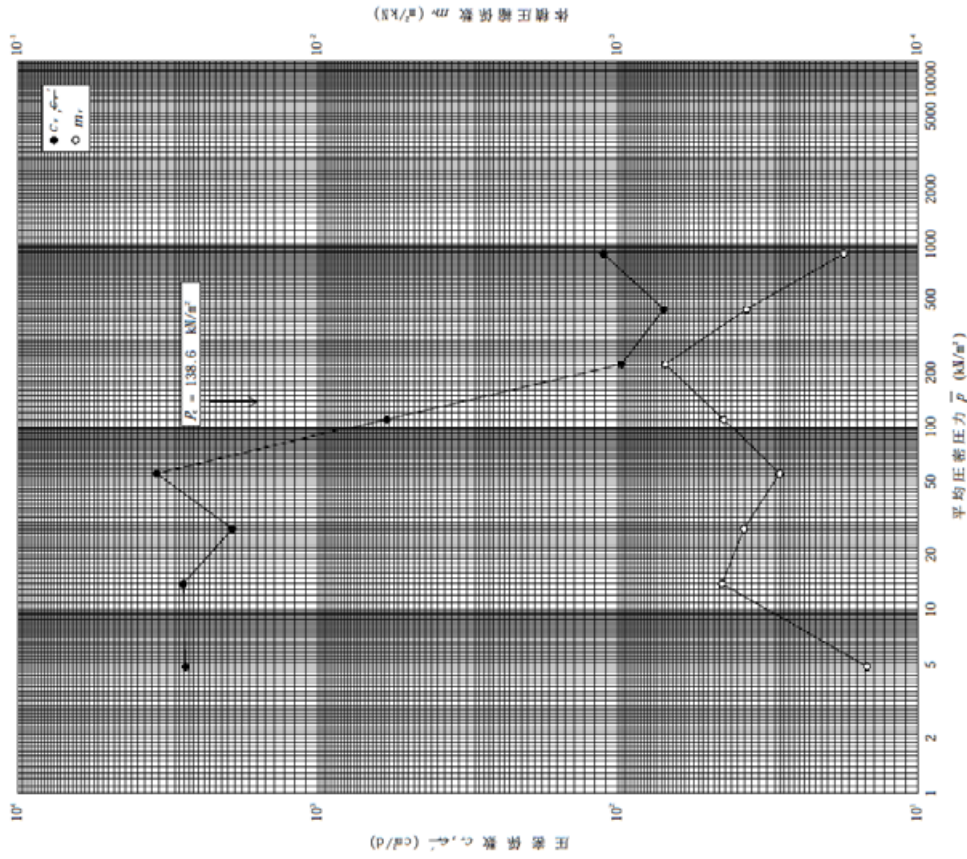
特記事項 1) 定ひずみ速度載荷による圧密試験の時のみ記入する。

[1kN/m²≒0.0102kgf/cm²]

JIS A 1217 土の段階載荷による圧密試験 (c_v, m, \bar{p} 関係)
 JGS 0411

調査件名 概略可能性調査その2業務委託
 試験年月日 平成 21年 2月 23日

試験番号(深さ) T-1-5 (21.00~21.80m) 試験者 倉持 淳



特記事項

[1kN/m²≒0.0102kgf/cm²]